## Rotazione delle Galassie

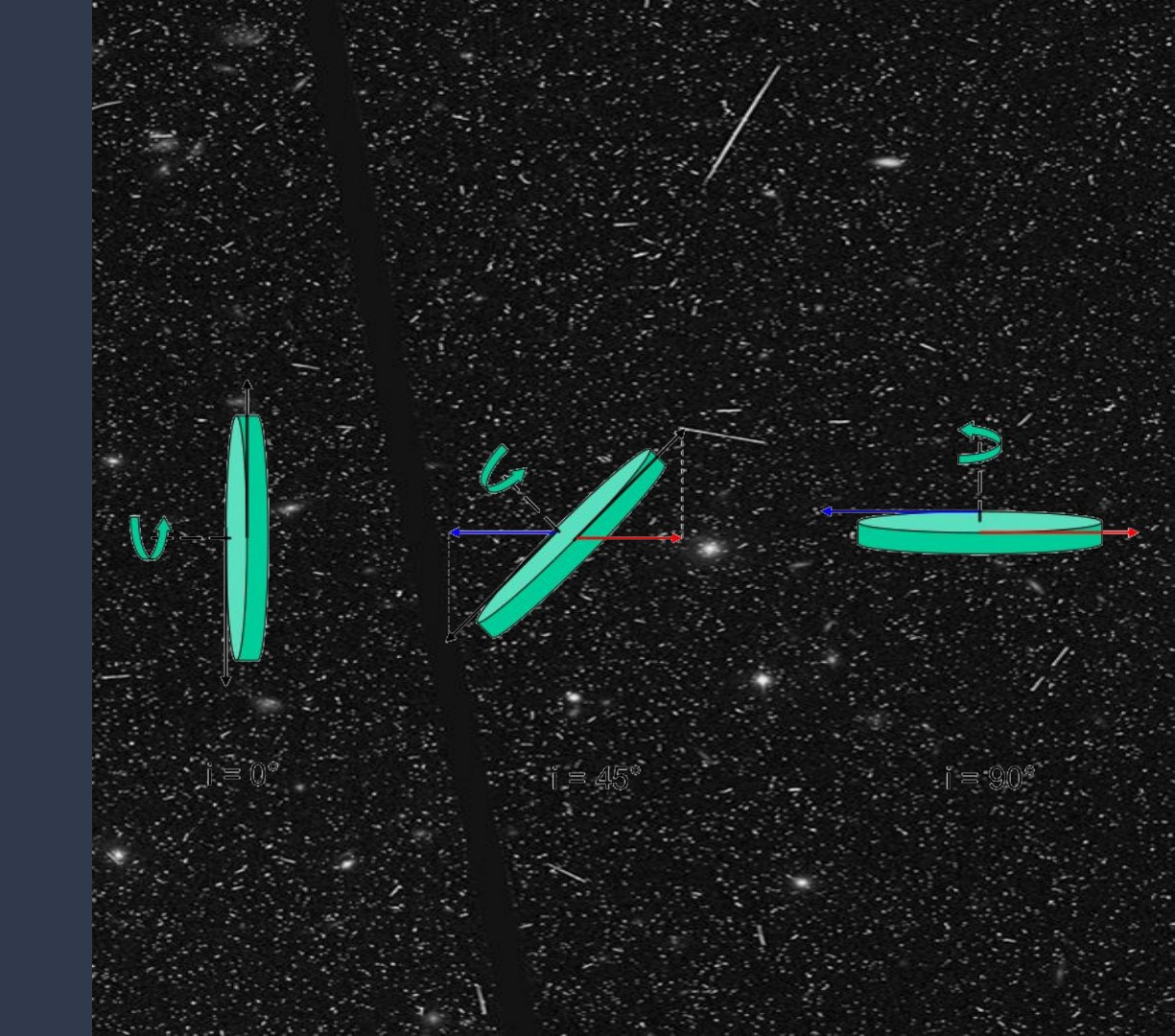
e Doppler di Rotazione Venezia, Benedetti e Foscarini Pietro Grossele Max Loris Tommaso Potenza Niccolò Duodo Camilla Pustetto Fernanda Gottardo

#### Galassie di Taglio e di Piatto

Non tutte le galassie possono essere viste di piatto.

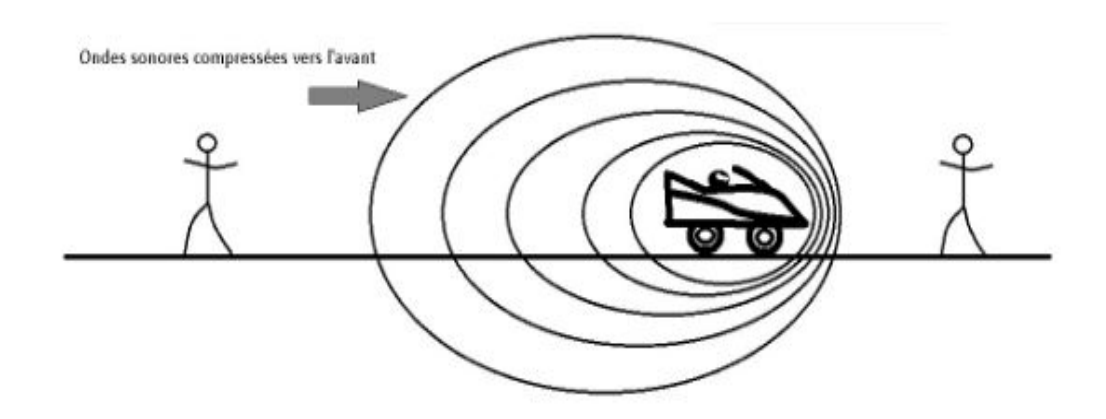
Le galassie osservabili possono essere osservate solo attraverso l'angolo che danno alla terra.

Non sempre però avere una galassia visibile parzialmente o completamente di taglio è un male.



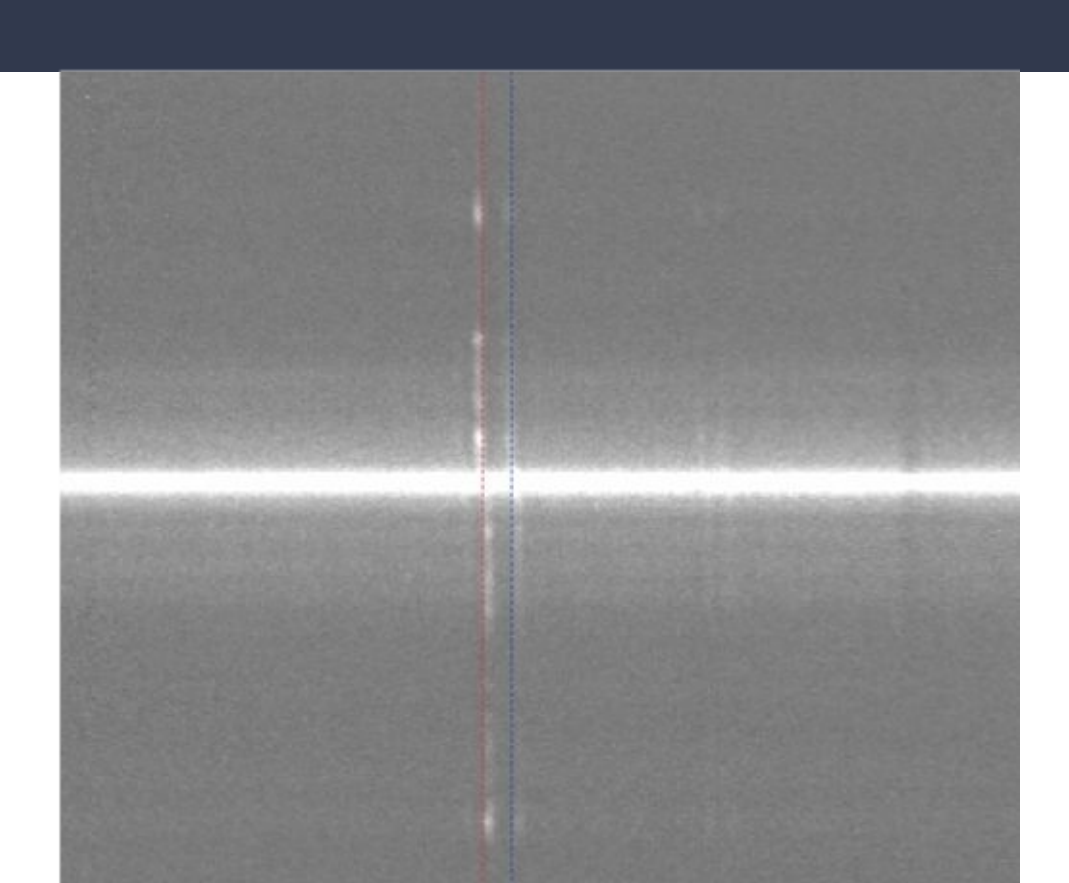
# Effetto Doppler

L'effetto Doppler si verifica quando la sorgente delle onde si muove rispetto all'osservatore. Se la fonte si sta avvicinando a chi osserva la frequenza delle onde aumenta, se si allontana la frequenza diminuisce.



## Redshift

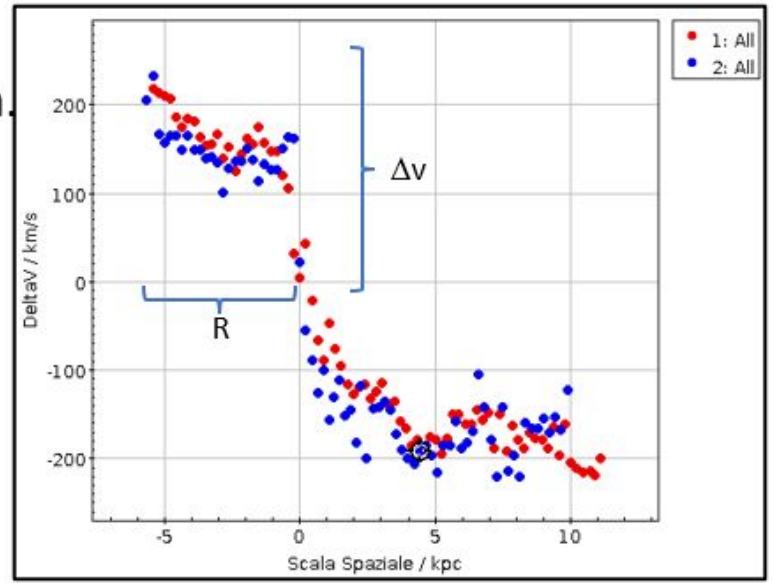
L'effetto Doppler vale anche per la luce, infatti si possono ottenere velocità di allontanamento e distanza misurando lo spostamento delle bande. Dato che l'universo si sta espandendo gli oggetti distanti li vediamo spostati nel rosso/infrarosso e per questo motivo l'effetto Doppler applicato a misure spaziali viene chiamato Redshift



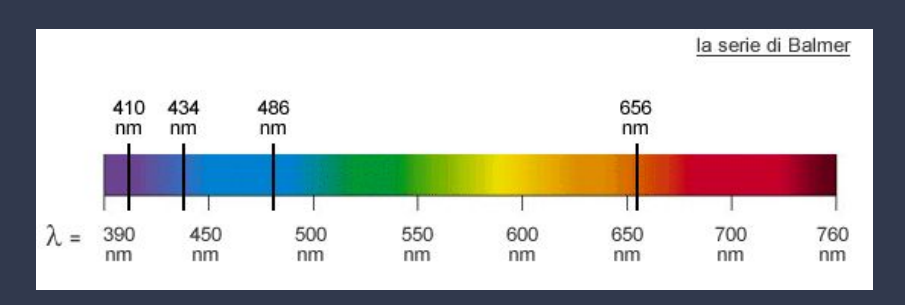
#### **CURVA DI ROTAZIONE**

È la velocità di rotazione della galassia in funzione della distanza dal centro.

Utilizzo: stima della massa della galassia.



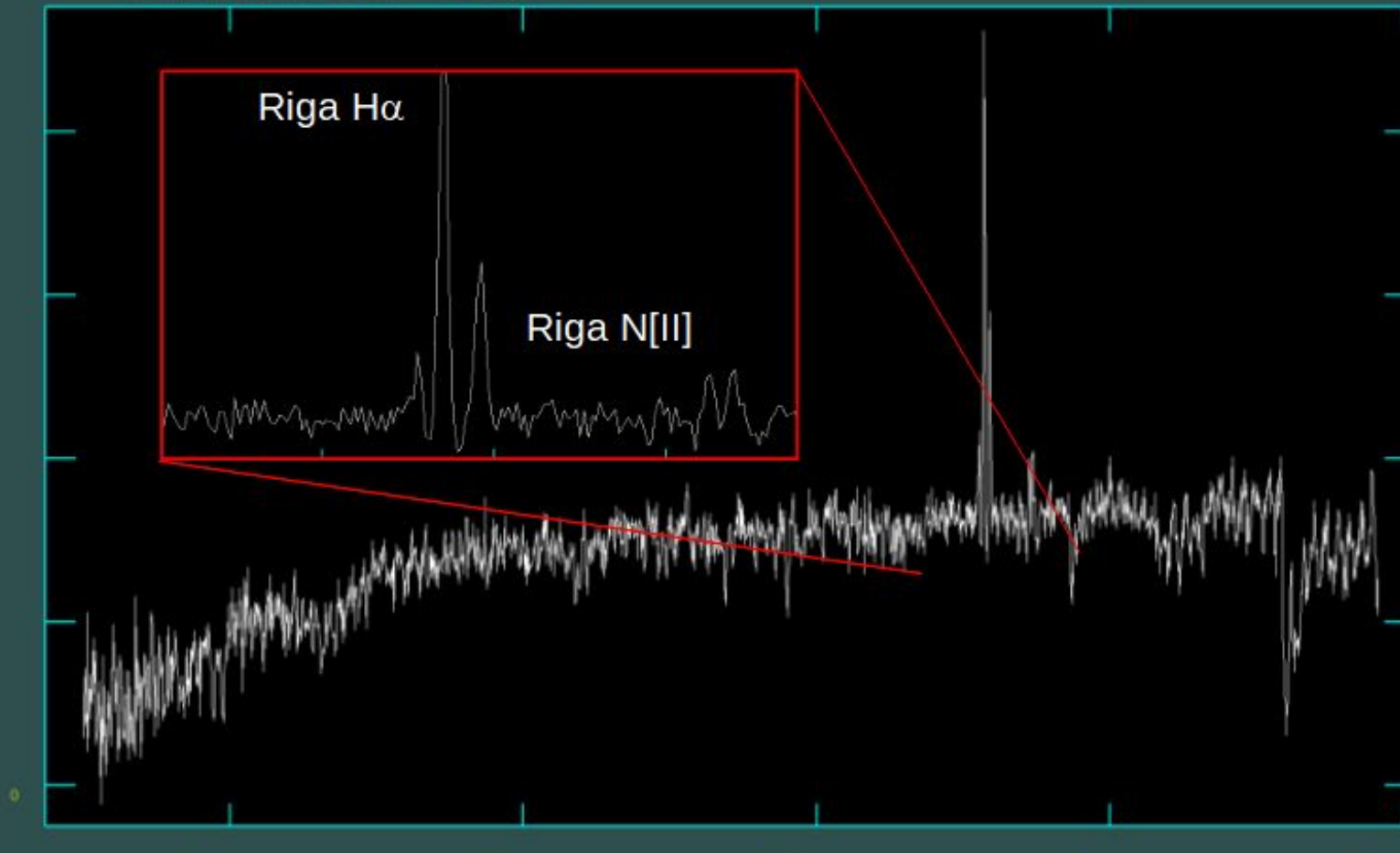
#### Righe Hα



Le righe Hα sono le più comuni e sono ben distinguibili nello spettro luminoso Le righe  $H\alpha$  sono righe di emissione dell'idrogeno.

Corrispondono al passaggio dal livello 3 al livello 2 ed emettono luce a lunghezza d'onda di 6563Å.

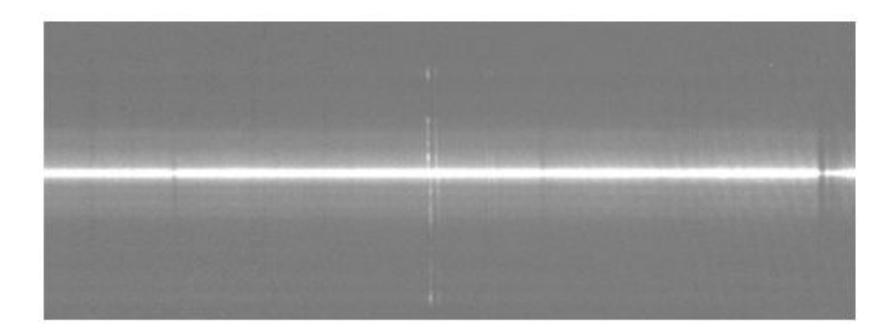
Appartengono alla serie Balmer, la serie di righe dello spettro visibile.

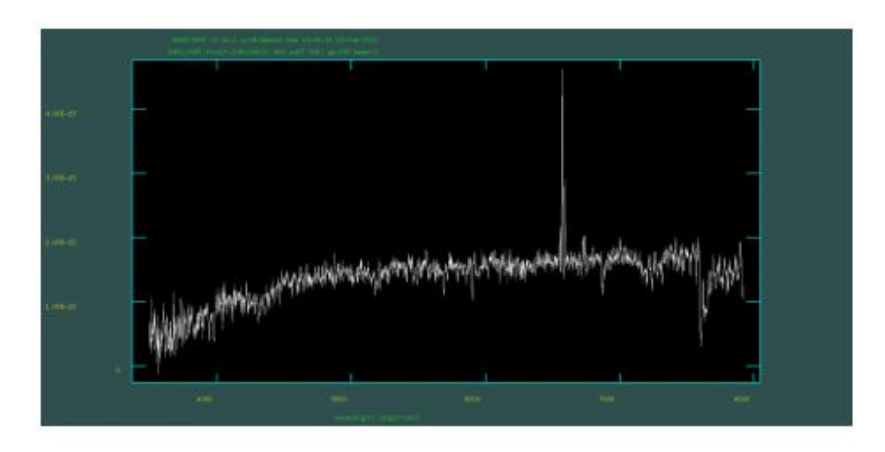


#### **IRAF**

Con il software Iraf possiamo aprire un file in formato .fits che ci mostra lo spettro della galassia.

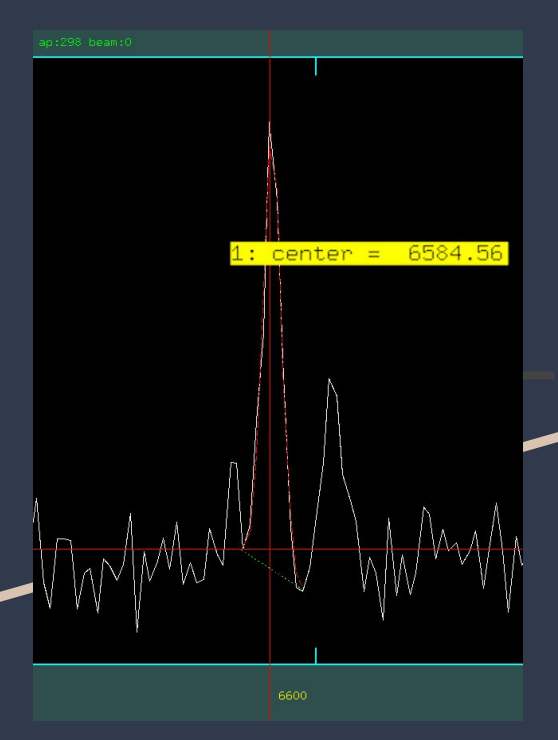
Automaticamente si aprirà anche una finestra blu nella quale possiamo scrivere dei comandi in LaTeX. Da qui possiamo chiedere al programma di creare lo spettro dei pixel selezionati e di mostrarci il grafico.





### <u>Tabella e Grafico</u>

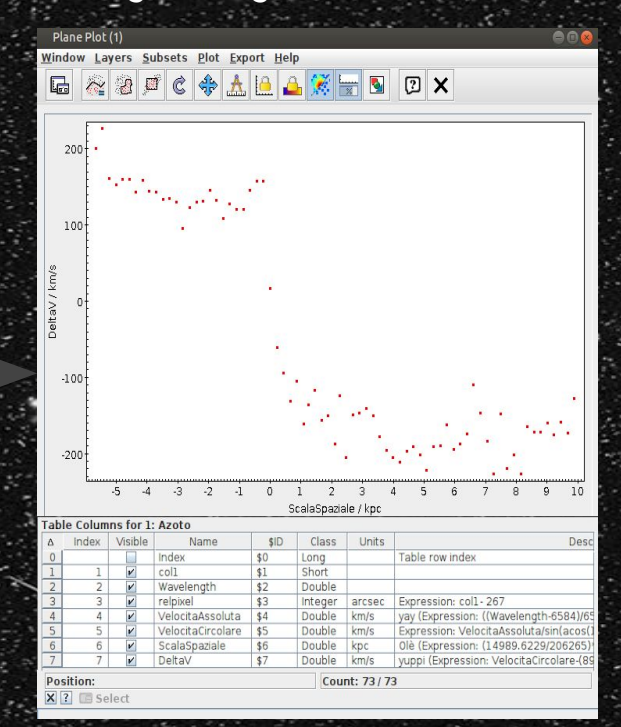
#### Si ottengono i dati con IRAF



## I dati vengono raccolti in una tabella

Table Browser for 1: Azoto								
	coll	Wavelength	relpixel					
1	379	6603.641	112	ŀ				
2	367	6603.642	100					
3	337	6603.753	70					
4	373	6603.788	106					
5	325	6603.986	58	Š				
6	322	6604.112	55	1				
7	301	6604.119	34					
8	376	6604.178	109	3				
9	334	6604.194	67					
10	328	6604.304	61					
11	319	6604.321	52	l				
12	349	6604.357	82	ĺ				
13	331	6604.417	64	ĺ				
14	340	6604.422	73	į				
15	343	6604.449	76					
16	296	6604.503	29					
17	352	6604.51	85					
18	364	6604.58	97					
19	316	6604.708	49					
20	394	6604.769	127					

#### La tabella viene poi trasformata in un grafico grazie a TOPCAT



## Dalla curva di rotazione alla massa

Formula per ricavare la massa di una galassia partendo dal raggio e dalla velocità di rotazione:

Dalla curva di rotazione di una galassia si possono ricavare dati come la velocità di rotazione e il raggio della stessa che poi vengono utilizzati nelle formule per ricavarne la massa o la percentuale di materia oscura.

$$M = \frac{(\Delta v)^2 \times R}{G} \qquad (kg)$$

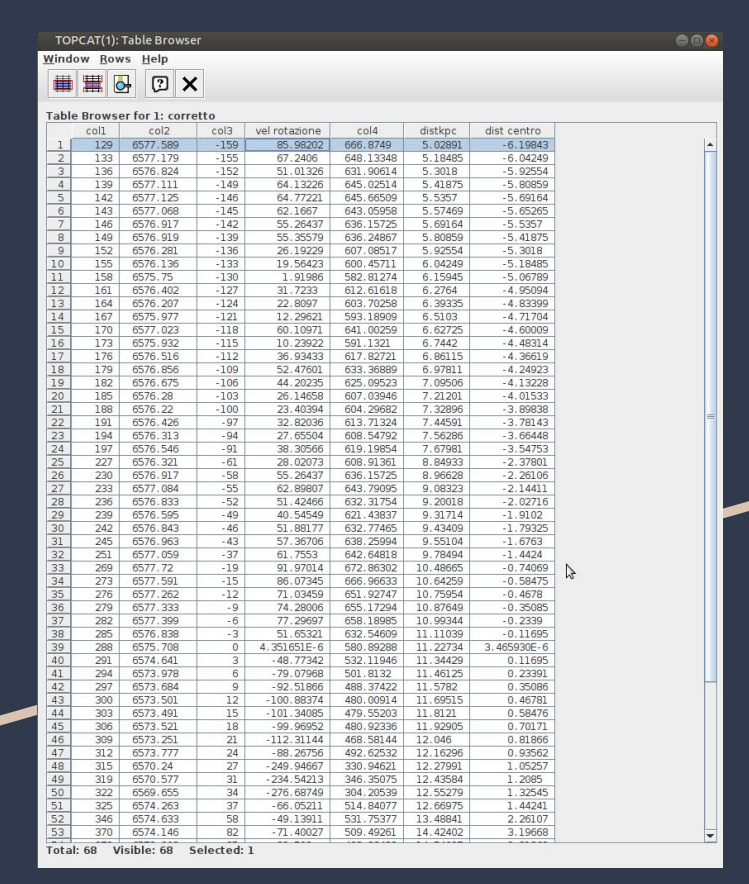
La massa della galassia viene poi rapportata con la massa del sole per ottenere un valore (la massa della galassia in masse solari) più facilmente confrontabile con le altre galassie:

$$M_{\text{sole}} = 2 \times 10^{30} \text{kg}$$

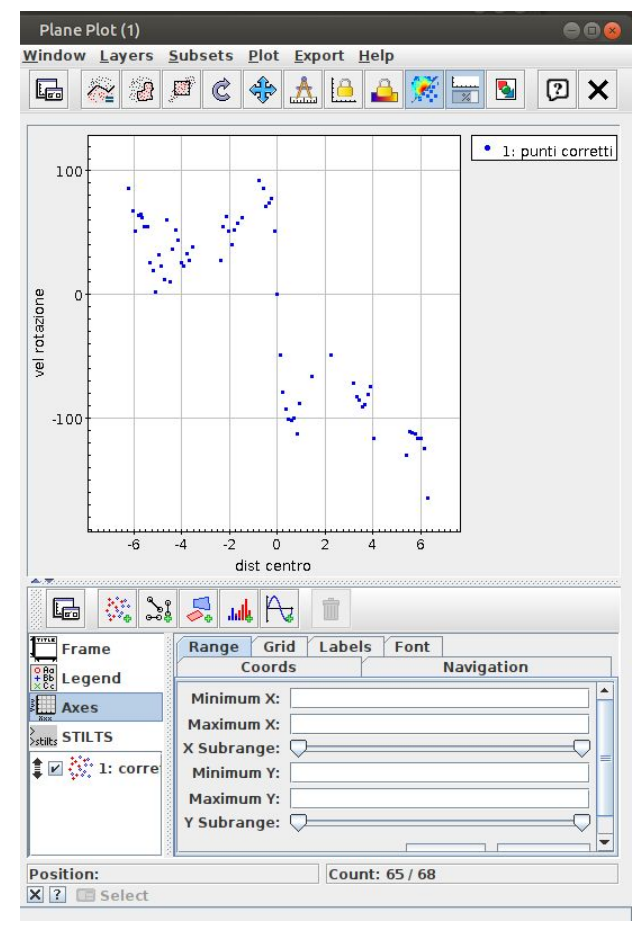


NGC2903 (SBd)

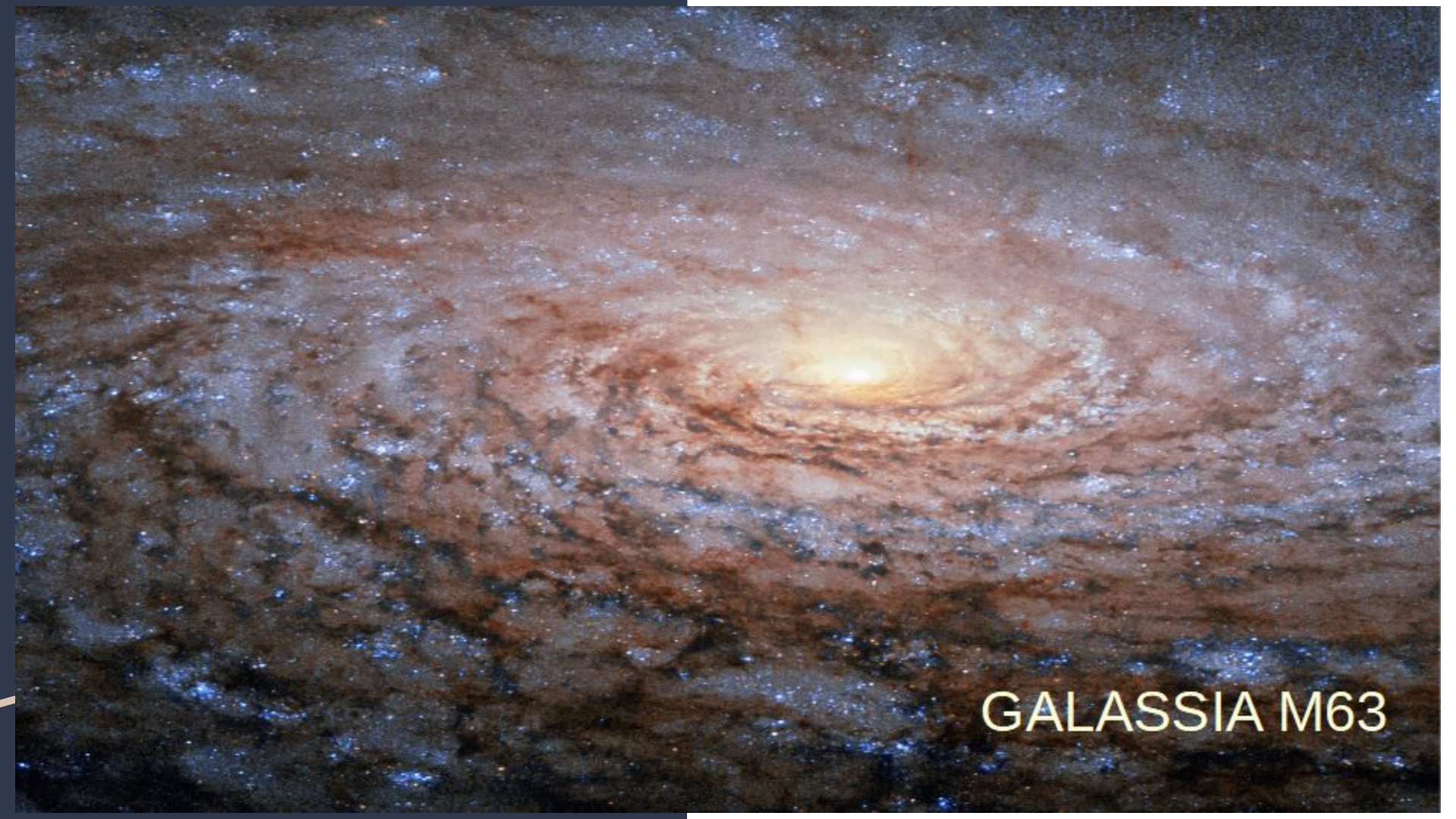
#### Risultati



gruppo 3

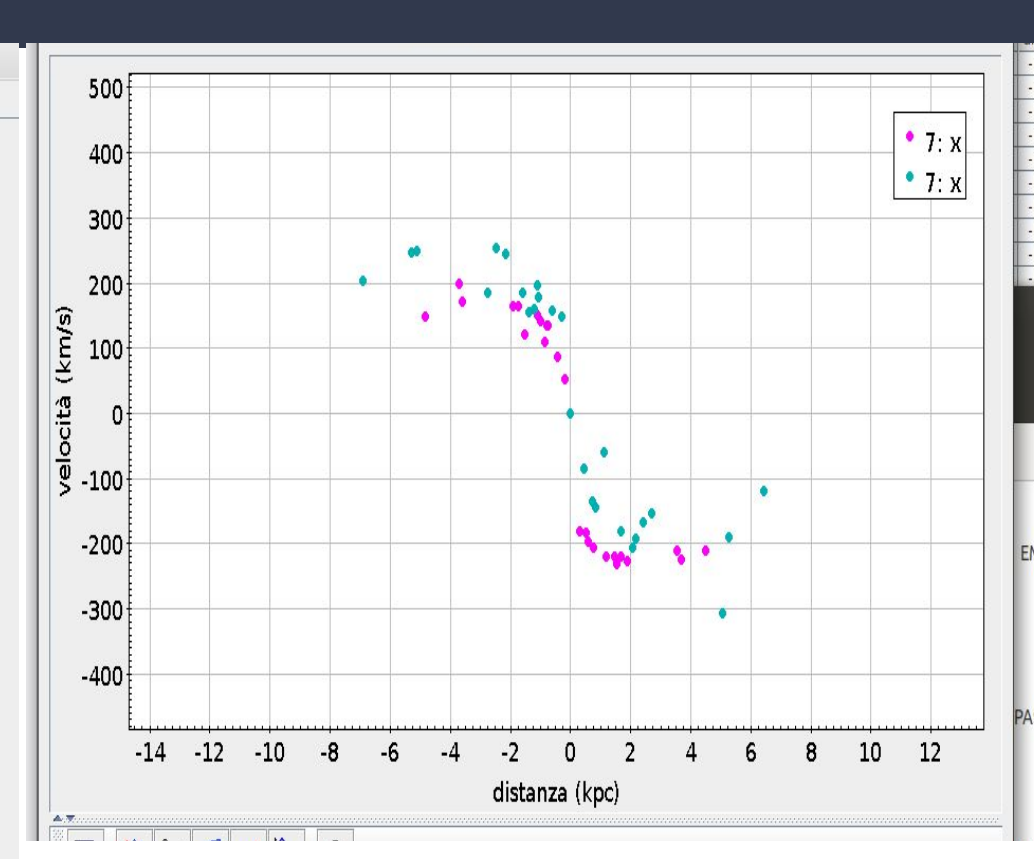


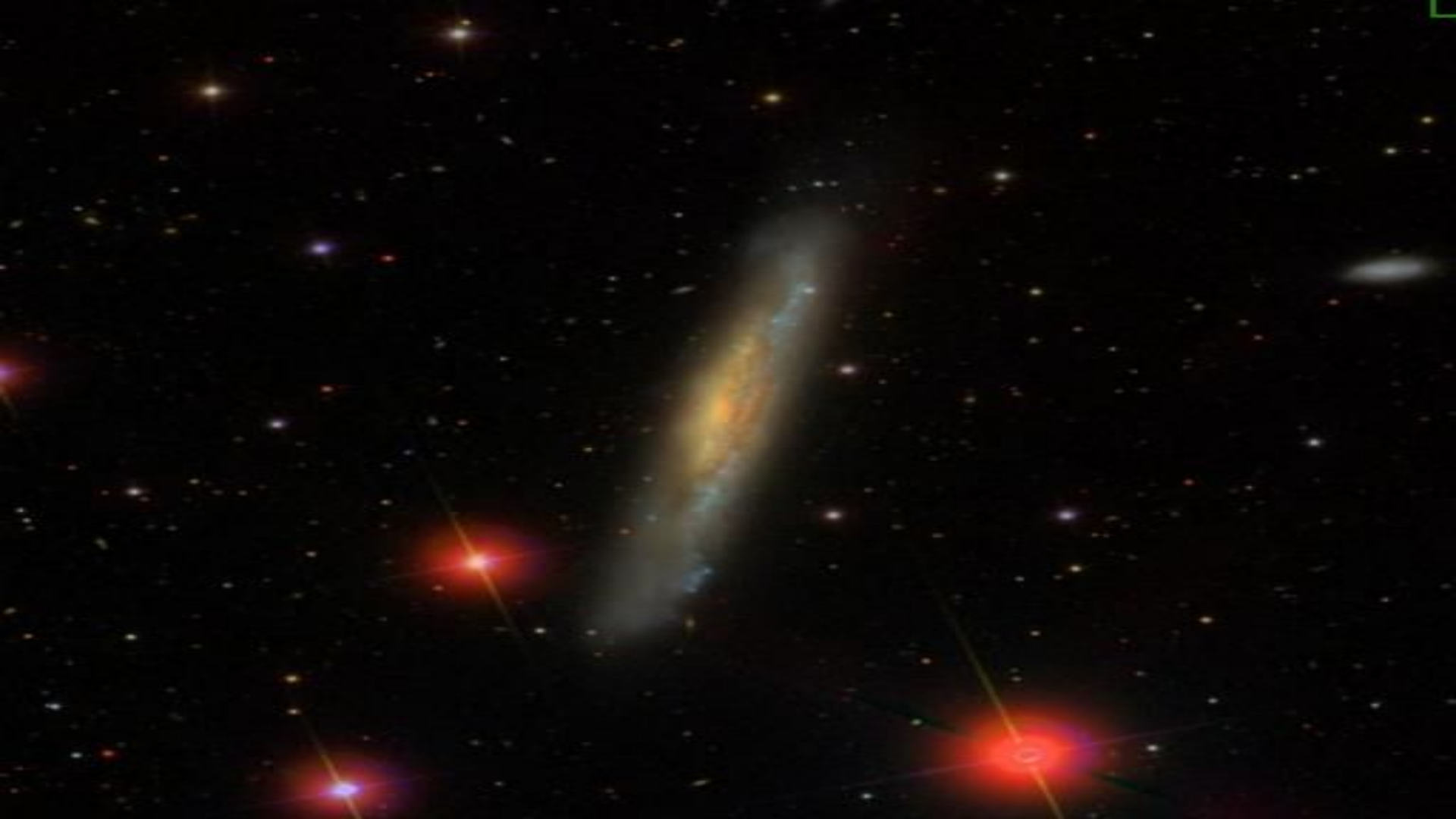
Fernanda Maria Gottardo e Camilla Pustetto

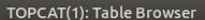


#### **RISULTATI**

H	# 9	± © X										
abl	e Browse	er for 7: mate	h(1,5)									
	coll 1	col2 1	rl	distanza 1	vHaSenzal	vHa	coll 2	col2 2	r 2	vNIISenzal	vNII	distanza
1		-		_			42	6593.312	-195	-26069.60843	-29574.14456	-9.40907
2				7			43	6592.69	-194	-54368.55511	-61677.3172	-9.3608
3	94	6577.091	-143	-4.83703	1.303726E5	1.478986E5	94	6597.826	-143	1.793025E5	2.034061E5	-6.89999
4	127	6578.064	-110	-3.7208	1.747732E5	1.982680E5	127	6598.674	-110	2.178837E5	2.471738E5	-5.30768
5	131	6577.539	-106	-3.58549	1.508160E5	1.710902E5	131	6598.71	-106	2.195216E5	2.490318E5	-5.11468
6	180	6577.419	-57	-1.92805	1.453401E5	1.648782E5	180	6597.462	-57	1.627417E5	1.846190E5	-2.75034
7	186	6577.431	-51	-1.7251	1.458877E5	1.654994E5	186	6598.791	-51	2.232068E5	2.532125E5	-2.46083
8	192	6576.576	-45	-1.52214	1.068718E5	1.212385E5	192	6598.61	- 45	2.149719E5	2.438706E5	-2.17132
9	204	6577.133	-33	-1.11624	1.322892E5	1.500728E5	204	6597.456	-33	1.624687E5	1.843094E5	-1.5923
0	208	6576.993	-29	-0.98094	1.259006E5	1.428254E5	208	6596.897	- 29	1.370361E5	1.554578E5	-1.3993
1	212	6576.341	-25	-0.84564	96148.08356	1.090733E5	212	6596.987	- 25	1.411308E5	1.601030E5	-1.20629
2	214	6576.843	-23	-0.77798	1.190557E5	1.350603E5	214	6597.703	- 23	1.737064E5	1.970577E5	-1.1097
3	215	6576.854	-22	-0.74416	1.195577E5	1.356298E5	215	6597.343	-22	1.573276E5	1.784771E5	-1.0615
4	224	6575.9	-13	-0.43973	76024.06607	86243.97739	224	6596.961	-13	1.399478E5	1.587610E5	-0.6272
5	231	6575.253	-6	-0.20295	46499.71388	52750.66805	231	6596.756	-6	1.306210E5	1.481804E5	-0.2895
6	237	6574.234	0	0.	0.	0.	237	6593.885	0	0.	0.	0.
7	246	6570.721	9	0.30443	-1.603076E5	-1.818578E5	246	6592.265	9	-73704.65211	-83612.76473	0.43426
8	252	6570.7	15	0.50738	-1.612659E5	-1.829449E5	252	6591.282	15	-1.184279E5	-1.343482E5	0.72377
9	254	6570.437	17	0.57503	-1.732673E5	-1.965597E5	254	6591.103	17	-1.265718E5	-1.435869E5	0.82028
20	260	6570.258	23	0.77798	-1.814356E5	-2.058260E5	260	6592.741	23	-52048.22347	-59045.06349	1.10979
21	272	6569.972	35	1.18389	-1.944865E5	-2.206314E5	272	6590.398	35	-1.586470E5	-1.799739E5	1.6888
22	280	6569.986	43	1.45449	-1.938477E5	-2.199066E5	280	6589.879	43	-1.822598E5	-2.067609E5	2.07482
23	282	6569.781	45	1.52214	-2.032024E5	-2.305189E5	282	6590.162	45	-1.693842E5	-1.921545E5	2.17132
24	287	6569.989	50	1.69127	-1.937108E5	-2.197513E5	287	6590.657	50	-1.468633E5	-1.666062E5	2.41258
25	293	6569.85	56	1.89422	-2.000537E5	-2.269469E5	293	6590.929	56	-1.344882E5	-1.525675E5	2.70209
26	342	6570.146	105	3.55167	-1.865464E5	-2.116239E5	342	6587.939	105	-2.705234E5	-3.068898E5	5.06642
27	346	6569.891	109	3.68697	-1.981828E5	-2.248245E5	346	6590.214	109	-1.670184E5	-1.894707E5	5.25943
28	370	6570.186	133	4.49878	-1.847211E5	-2.095532E5	370	6591.557	133	-1.059163E5	-1.201546E5	6.4174







Window Rows Help





Table Browser for 1: Azoto

		er for 1: Azot	- N. W.			The state of the s		
	coll	Wavelength	relpixel	VelocitaAsso	VelocitaCirc	ScalaSpa	DeltaV	
1	379	6603.641	112	894.32316	894.32316	8.13923	-226.59738	
2	367	6603.642	100	894.36869	894.36869	7.26717	-226.55185	
3	337	6603.753	70	899.42291	899.42291	5.08702	-221.49763	
4	373	6603.788	106	901.01658	901.01658	7.7032	-219.90396	
5	325	6603.986	58	910.03221	910.03221	4.21496	-210.88833	
6	322	6604.112	55	915.76943	915.76943	3.99694	-205.15111	
7	301	6604.119	34	916.08816	916.08816	2.47084	-204.83238	
8	376	6604.178	109	918.77464	918.77464	7.92121	-202.1459	
9	334	6604.194	67	919.50317	919.50317	4.869	-201.41737	
10	328	6604.304	61	924.51186	924.51186	4.43297	-196.40868	
11	319	6604.321	52	925.28593	925.28593	3.77893	-195.63461	
12	349	6604.357	82	926.92513	926.92513	5.95908	-193.99541	
13	331	6604.417	64	929.65714	929.65714	4.65099	-191.2634	
14	340	6604.422	73	929.88481	929.88481	5.30503	-191.03573	
15	343	6604.449	76	931.11421	931.11421	5.52305	-189.80633	
16	296	6604.503	29	933.57302	933.57302	2.10748	-187.34752	
17	352	6604.51	85	933.89175	933.89175	6.17709	-187.02879	
18	364	6604.58	97	937.0791	937.0791	7.04915	-183.84144	
19	316	6604.708	49	942.90738	942.90738	3.56091	-178.01316	
20	394	6604.769	127	945.68493	945.68493	9.2293	-175.23561	
21	355	6604.797	88	946.95986	946.95986	6.39511	-173.96068	
22	400	6604.823	133	948.14374	948.14374	9.66533	-172.7768	
23	385	6604.851	118	949.41867	949.41867	8.57526	-171.50187	
24	388	6604.855	121	949.60081	949.60081	8.79327	-171.31973	
25	382	6605.	115	956.20316	956.20316	8.35724	-164.71738	
26	346	6605.046	79	958.2977	958.2977	5.74106	-162.62284	
27	282	6605.078	15	959.75477	959.75477	1.09008	-161.16577	
28	391	6605.119	124	961.62165	961.62165	9.01129	-159.29889	
29	397	6605.132	130	962.21358	962.21358	9.44732	-158.70696	
30	290	6605.181	23	964.44472	964.44472	1.67145	-156.47582	
31	293	6605.306	26	970.13641	970.13641	1.88946	-150.78413	
32	313	6605.312	46	970.40961	970.40961	3.3429	-150.51093	
33	304	6605.346	37	971.95775	971.95775	2.68885	-148.96279	
34	370	6605.38	103	973.50589	973.50589	7.48518	-147.41465	
35	361	6605.387	94	973.82462	973.82462	6.83114	-147.41403	
36	307	6605.397	40	974.27996	974.27996	2.90687	-146.64058	
37	310	6605.52	43	979.88057	979.88057	3.12488	-141.03997	
38	284	6605.642	17	985.43566	985.43566	1.23542	-135.48488	
39	276	6605.727	9	989.306	989.306	0.65405	-131.61454	
40	403	6605.805	136	992.85762	992.85762	9.88335	-131.01434	
41	298	6605.901	31	997.22883	997.22883	2.25282	-123.69171	
42	287	6606.041	20	1003.60352	1003.60352	1.45343	-117.31702	
43	358	6606.195	91	1010.61568	1010.61568	6.61312	-117.31702	
44	279		12		1015.98863		-110.30486	
45	273	6606.313	6	1015.98863	1015.98863	0.87206		
		6606.547	3	1026.64346		0.43603	-94.27708	
46	270	6607.294		1060.65697	1060.65697	0.21802	-60.26357	
47	267	6608.986	0	1137.69963	1137.69963	0.	16.77909	
48	228 246	6610.711	-39 -21	1216.24489	1216.24489	-2.8342 -1.52611	95.32435	

#### **RISULTATI**

